

О ВОЗМОЖНОСТИ ПОВЫШЕНИЯ СТАБИЛЬНОСТИ ЧАСТОТЫ В СИСТЕМЕ  
ФАП С ПАССИВНЫМ ЭТАЛОННОМ

Н.Н.Пренцлау, Ф.Ф.Менде, И.Н.Бондаренко

Показана возможность повышения стабильности частоты в системе ФАП с пассивным эталоном путем стабилизации низкочастотного опорного генератора по стабильному СВЧ сигналу.

Стабилизированный таким образом низкочастотный генератор используется как опорный для стабилизации частоты СВЧ генератора.

В работе [1] описана система стабилизации частоты СВЧ генератора с фазовой автоподстройкой по низкочастотному опорному генератору. В этой работе было показано, что в том случае, если частота сигнала, проходящего через резонатор, стабильна, нестабильность частоты подстраиваемого СВЧ генератора определяется, в основном, нестабильностью частоты низкочастотного опорного генератора и равна

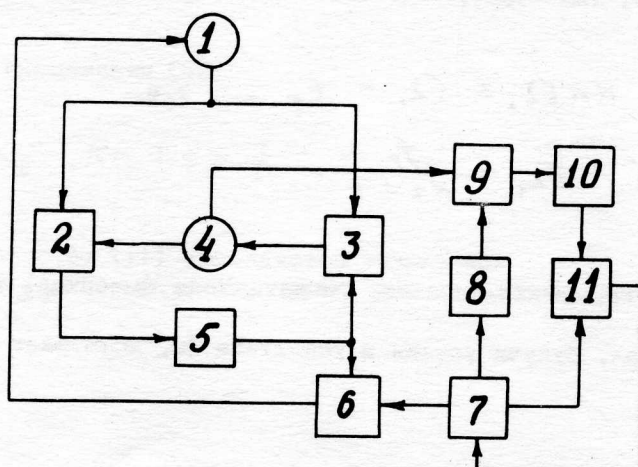
$$\delta_f = \delta_\Omega \frac{\Omega}{f}, \quad (1)$$

где  $\delta_f$  – относительная нестабильность частоты подстраиваемого генератора,  
 $\delta_\Omega$  – относительная нестабильность частоты опорного низкочастотного генератора,

$f$  и  $\Omega$  – частота сигналов СВЧ и опорного генератора соответственно.

Из (1) видно, что для уменьшения нестабильности частоты подстраиваемого СВЧ генератора необходимо уменьшить нестабильность частоты опорного низкочастотного генератора.

В настоящей работе описана система, в которой это нежелательное явление в значительной степени ослаблено. Это достигается путем введения дополнительной фазовой автоподстройки частоты низкочастотного генератора по стабильному СВЧ сигналу. Блок-схема системы стабилизации приведена на рисунке.



Цифрами соответственно обозначены: 1 – подстраиваемый СВЧ генератор, 2 – смеситель, 3 – модулятор, 4 – сверхпроводящий резонатор (СПР), 5 – усилитель промежуточной частоты (УПЧ), 6 – фазовый детектор, 7 – низкочастотный опорный генератор, 8 – умножитель частоты, 9 – смеситель, 10 – усилитель промежуточной частоты (УПЧ), 11 – фазовый детектор.

Рассмотрим работу системы. Сигнал от подстраиваемого генератора 1 поступает на смеситель 2 и модулятор 3, между которыми включен УПЧ 5. Нетрудно показать, что система, состоящая из элементов 1, 2, 3 и 5, является СВЧ усилителем с переносом усиления на промежуточную частоту, в цепь положительной обратной связи которого включен сверхпроводящий резонатор 4 [2].

Если выполняется условие

$$f = f_p \pm \Omega, \quad (2)$$

где  $f_p$  – резонансная частота СПР 4,

то СВЧ усилитель самовозбудится, генерируя сигнал стабильной частоты  $f_p$ . При этом, как показано в работе [3], флуктуация частоты подстраиваемого генератора 1 перераспределится между частотами  $\Omega$  и  $f_p$  следующим образом:

$$\Delta\Omega = \frac{\Delta f}{\left(1 + \frac{\tau_\Omega}{\tau_p}\right)}, \quad (3)$$

$$\Delta f_p = \Delta\Omega \frac{\tau_\Omega}{\tau_p} = \frac{\Delta f}{1 + \frac{\tau_p}{\tau_\Omega}},$$

где  $\Delta f$ ,  $\Delta\Omega$  и  $\Delta f_p$  – флуктуации частоты сигналов подстраиваемого генератора 1, а также сигнала, проходящего через УПЧ и СПР соответственно.

$\tau_\Omega$  и  $\tau_p$  – крутизна фазовых характеристик УПЧ 5 и СПР 4. Из (3) видно, что в случае, если  $\tau_p \gg \tau_\Omega$ , почти вся флуктуация частоты  $\Delta f$  переносится на промежуточную, т.е.

$$\Delta\Omega \approx \Delta f. \quad (4)$$

Это свойство системы и используется для фазовой автоподстройки генератора 1 по опорному низкочастотному генератору 7 [1]. Сигнал же, проходящий через резонатор 4, как видно из соотношений 3, даже в случае отсутствия автоподстройки генератора 1, оказывается стабилизированным. Это свойство и использовано в системе, приведенной на рисунке, для дополнительной фазовой автоподстройки генератора 7. Стабилизированный таким образом сигнал генератора 7 в дальнейшем используют для фазовой автоподстройки генератора 1. Фазовая автоподстройка частоты генератора 7 осуществляется с помощью элементов 8, 9, 10, 11.

Сигнал  $\Omega_1$  умножается по частоте в умножителе 8 в  $n$  раз и поступает на смеситель 9, где образует спектр с дискретностью  $n\Omega_1$ . Если выполняется условие

$$K_n \Omega_1 \pm \Omega_1 = f_p, \quad \text{т.е.}$$

$$\Omega_1 = \frac{f_p}{K_n \pm 1}, \quad (5)$$

где  $K$  – номер гармоники сигнала, то на выходе смесителя 9 получим сигнал с частотой  $\Omega_1$ .

Этот сигнал, будучи усилен в усилителе 10, поступает на фазовый детек-

тор 11, куда также подают сигнал генератора 7. При уходе частоты генератора 7 от значения  $\Omega_1$ , на выходе фазового детектора 11 появится сигнал ошибки. Это связано с тем, что соотношение (5) выполняется только при строго определенном значении частоты низкочастотного генератора, равном  $\Omega_1$ . Сигнал ошибки с выхода фазового детектора 11 и используют для коррекции частоты генератора 7.

Рассмотрим соотношения между частотами, при которых изображенная на рисунке система является работоспособной. В связи с тем, что фазовая автоподстройка обеспечивает абсолютное равенство частот эталонного и подстраиваемого генераторов, стационарный режим работы наступит при равенстве частот сигналов, подаваемых на фазовый детектор 6 с УПЧ 5 и от генератора 7, т.е.

$$\Omega = \Omega_1. \quad (6)$$

Учитывая (5), можно записать :

$$\Omega = \frac{f_P}{K_n \pm 1}. \quad (7)$$

Рассмотрим подстраивающее действие системы.

При уходе частоты сигнала, проходящего через резонатор 4, на  $\Delta f_P$  при действии системы фазовой автоподстройки можно записать :

$$K_n \Omega'_1 \pm \Omega'_1 = f_P \pm \Delta f_P, \quad (8)$$

где  $\Omega'_1$  – частота генератора 7 при наличии флюктуации  $\Delta f_P$ . Учитывая (5), из (8) находим

$$\Omega'_1 = \frac{f_P \pm \Delta f_P}{K_n \pm 1} = \Omega_1 \pm \frac{\Delta f_P}{K_n \pm 1}. \quad (9)$$

При наличии флюктуации частоты генератора 7, с учетом (3) и (9), можно записать

$$\frac{\Delta f_P}{K_n \pm 1} = \frac{\Delta \Omega \frac{\tau_\Omega}{\tau_P}}{K_n \pm 1}. \quad (10)$$

В случае применения фазовой автоподстройки генератора 1 с учетом (6) находим

$$\Delta \Omega = \Delta \Omega \frac{\tau_\Omega / \tau_P}{K_n \pm 1}. \quad (11)$$

Так как в случае применения СПР

$$\frac{\tau_\Omega / \tau_P}{K_n \pm 1} \ll 1, \text{ а } K_n \pm 1 \gg 1, \text{ то } \frac{\tau_\Omega / \tau_P}{K_n \pm 1} \neq 1.$$

В этом случае равенство (11) выполняется только при  $\Delta \Omega = 0$ . Но при этом, согласно (3)  $\Delta f_P = 0$ . Учитывая, что  $\Delta f_P + \Delta \Omega = \Delta f$  [3], имеем

$$\Delta f = 0.$$

Естественно, что последнее соотношение характеризует идеализированную систему, в которой отсутствует влияние внешних факторов на фазовые характеристики элементов. В действительности же такое влияние всегда имеется, приводя к некоторым флуктуациям частоты  $f_P$ , а следовательно, и к флуктуациям  $f$ .

Однако нестабильность частоты, связанная с этим, определяется только условием баланса фаз в СВЧ генераторе, использующем усилитель с переносом усиления на промежуточную частоту. Дополнительный же фактор нестабильности, связанный с наличием низкочастотного опорного генератора, исключается. В этом основное преимущество предлагаемой системы по сравнению с системой стабилизации, в которой используется независимый низкочастотный генератор [1].

## Л И Т Е Р А Т У Р А

1. Ф.Ф.Менде, Н.Н.Пренцлау, В.А.Чаркин, И.Т.Баранов, Авторское свидетельство № 340056. "Бюллетень изобретений", № 17, 1972.
2. Ф.Ф.Менде, В.М.Дмитриев, Е.В.Христенко, Г.Е.Чурилов, ПТЭ, № 3, 1967.
3. Ф.Ф.Менде, В.М.Дмитриев, Е.В.Христенко, Г.Е.Чурилов, Н.Н.Пренцлау, В.А.Чаркин, И.Т.Баранов, Сб."Физика конденсированного состояния", вып. IX, ФТИНТ АН УССР, Харьков, 1970.

## ON POSSIBILITIES OF INCREASING FREQUENCY STABILITY IN FAT WITH PASSIVE STANDARD

N.N.Prentslau, F.F.Mende, I.N.Bondarenko

The possibility has been shown for increasing the frequency stability in the FAT system with a passive standard by stabilizing the low frequency reference generation using a stable microwave signal.

The stabilized this way low frequency generator can be used as a reference one for stabilizing the frequency of the ultra-high frequency generator.

Получена редакцией 13 ноября 1972 года.